

### 3. Difuse a transport

#### 3.1. Základní vztahy

##### 3.1.1. Difuse a polyyblivost

O předchozí kapitole „dynamiku plazmatu“ jste viděli, že půdání „členu tří“ do polyyblivosti říkáme uniformnímu plazmatu ve smyslu el. pole, vede k následovní:

Tento člen také vede k difuze v případě neuniformního plazmatu.  
Nejdříve si to všechno na případu sacionálního problému.

$$0 = qn\vec{E} - \nabla p - mn\gamma_m\vec{u}$$

pro izotermální plasma  $\nabla p = RT\nabla n$

$$\Rightarrow \vec{u} = \frac{q\vec{E}}{m\gamma_m} - \frac{RT}{m\gamma_m} \frac{\nabla n}{n}$$

$$\vec{P} = \pm \mu m \vec{E} - D \nabla n$$

$$\text{polyyblivost } \langle u \rangle = \frac{|q|}{m\gamma_m}; D = \frac{RT}{m\gamma_m}$$

→ med. neutral. č. nemajíš  
diff. rychlosť

→ výsk. fyz. pro přenos výbojnosti -  
- med. č. neutrál. na ří

$$\gamma_m = mg\Omega_m N$$

$$5 \sim 10^{-1} \text{ polarizační}$$

$$\text{výbojnost} \text{ sítě} \text{ sítě} \text{ sítě} \text{ sítě}$$

$$\Gamma = m \cdot \langle u \rangle$$

$$\langle u \rangle = \frac{|q|}{RT} D$$

##### 3.1.2 Dolná difuze

$$\text{bez el. pole } \Gamma = -D \nabla n \quad \text{Fickův zákon}$$

$$\text{Můžeme dospět do ree continuity } \frac{\partial n}{\partial t} + \nabla \cdot \vec{P} = 0$$

$$\frac{\partial n}{\partial t} - D \nabla^2 n = 0$$

pro nášky mohou být  
 $\lambda = \frac{\bar{v}}{\gamma_m} \quad \bar{v} = \sqrt{\frac{8kT}{\pi m}}$

$$\Rightarrow D = \frac{\pi}{8} \lambda^2 \gamma_m \sim \left(\frac{\Delta x}{\tau}\right)^2$$

$\Delta x$  ... délka kroku  
 $\tau$  ... doba mezi krokem

##### 3.1.3 Ambijolární difuze

Deklat pro  $\vec{P}$  platí pro e-i iony. Předp. že  $\vec{P}_e = \vec{P}_i$  v nějaké oblasti, takže se náboj nezmění (platí i pro ioniz. nášky - generují e-ion. páry).  
Pakže e-jon lehce  $\Rightarrow \uparrow \vec{u}$  (v nemag. plazmatu) a elektr. pole  $\Gamma$ , až uvede k negativu. Na pozadí, kde vše e-ion. pohyb a vznikají náboj soudí  $\Rightarrow$   
 $\Rightarrow$  el. pole. Uvažme  $\vec{P}_e = \vec{P}_i = \vec{P}$   $m_e \approx m_i = m$

$$\langle u_i m \vec{E} - D_i \nabla n \rangle = -\langle u_e m \vec{E} - D_e \nabla n \rangle$$

$$\vec{E} = \frac{D_i - D_e}{\langle u_i + u_e \rangle} \frac{\nabla n}{n}$$

$$\Gamma = \Gamma_i = \langle u_i \frac{D_i - D_e}{m_i + m_e} \nabla n - D_i \nabla n \rangle = -\frac{\langle u_i D_e + \langle u_e D_i \rangle}{m_i + m_e} \nabla n$$

$$\text{a opět Fickův zákon } \Gamma = D_a \nabla n$$

$$D_a$$

$$\text{me kont. } \frac{\partial n}{\partial t} - D_a \nabla^2 n = 0$$

ambip. dif. koef. se ve slabé ioniz. výloži může zjednodušit, protože  $\ll \mu_e \gg \mu_i$  ( $\mu = \frac{|q|}{m_e k_B T}$ )  $\Rightarrow D_a \propto D_i + \frac{\mu_i}{\mu_e} D_e$

$$\text{a pomocí Lind. vztahu } \mu = \frac{|q|}{k_B T} D \quad D_a \approx D_i \left(1 + \frac{T_e}{T_i}\right)$$

Ambip. dif. koef. je tedy výrazně pomalejší než  $D_i$  (význam  $D_i$ ) a koef. je význam o faktor  $1 + \frac{T_e}{T_i} = \frac{T_e}{T_i} \gg 1$  a tedy  $e^-$  iony difundují rychleji než v případě bez ioniz.

Po případu  $\ll \mu_e \gg \mu_i$ ,  $T_e \gg T_i$   $\Gamma_i = \mu_i m \vec{E}$  protože  $\nabla p_i$  je oproti  $\Gamma_i$  a  $m_i m \vec{E}$  různob.

zatímco

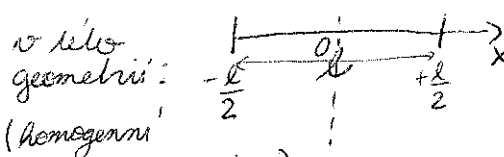
$$\Gamma_e = -\mu_e m E - D_e \nabla m = 0 \quad \text{protože totéž } \Gamma_e \text{ je různob.}$$

$\Rightarrow$  ion. proud je dominován polohou ionu a počet  $e^-$  je určen BKR

### 3.2 Růžení difuzní rovnice $\rightarrow \frac{\partial m_0}{\partial t} - D_a \nabla^2 m_0 = 0 / \frac{\partial m}{\partial t} - D_a \nabla^2 m = 0$

#### 3.2.1 1D čas. růž. růžení

v 1D jednoduše, v nějž nejsou zdroje  $\Rightarrow$  růžení musí být všechno

v silo geometrii:  reprezentace prom.  $m(x, t) = X(x) T(t)$   
(homogenní  
dérka  $\frac{d}{dx} = \frac{d}{dt} \Rightarrow$ )

$$X \frac{dT}{dt} = DT \frac{d^2 X}{dx^2} \quad 1:XT$$

$$\frac{1}{T} \frac{dT}{dt} = \frac{D}{X} \frac{d^2 X}{dx^2}$$

a tedy obtížné pro množství  $\sim -\frac{1}{C}$

$$\frac{dT}{dt} = -\frac{T}{\tau} \Rightarrow T = T_0 e^{-\frac{t}{\tau}}$$

$$\frac{d^2 X}{dx^2} = -\frac{X}{\Lambda^2} \Rightarrow X = A \cos \frac{x}{\Lambda} + B \sin \frac{x}{\Lambda}$$

hde  $\Lambda = \sqrt{DC}$  dif. délka

okraj. podm.  $X=0$  pro  $x=\pm \frac{l}{2}$  a největší růžení = symetrické růžení  $\Rightarrow B=0$   $\Rightarrow \Lambda_0 = \sqrt{DC_0} = \frac{l}{\pi} \Rightarrow \tau_0 = \left(\frac{l}{\pi}\right)^2 \frac{1}{D}$

$$\begin{cases} m = X \cdot T \\ \int m(0, x) dx = m_0 \end{cases}$$

$$\frac{l}{2} m_0 \left[ \sin \frac{\pi x}{l} + \sin \frac{\pi l}{l} \right] = m_0$$

$$m = m_0 e^{-\frac{t}{\tau_0}} \cos \frac{\pi x}{l}$$

me lib. všichni hodnoty  $-l/2 < x < l/2$  můžeme dletoho zapsat jinak  
Four. rádu  $\Rightarrow m(-\frac{l}{2}) = m(\frac{l}{2}) = 0$

$$X = \sum_{i=0}^{\infty} A_i \cos \frac{(2i+1)\pi x}{l} + \sum_{i=1}^{\infty} B_i \sin \frac{2i\pi x}{l}$$

Příp., že kádý mod' flexi' s vlastní charak. výkloky, týmž i-tý mod' má  
kde řešení

$$n_i = n_0 A_i e^{-t/\tau_i} \cos \frac{(2i+1)\pi x}{l}$$

$$\text{a opět je druhý podm. } \tau_i = \left[ \frac{l}{(2i+1)\pi} \right]^2 \frac{l}{D}$$

Pro výši mod'  $\omega_{12} > 0$  je pokles výkloky a ledy největší mod' se stává dominantní po určitém čase.

### 3.2.2 1D vzdálené řešení

Pro vzdálený výboj je zájmovější řešení dif. rov. bez čas. závislosti. V tomto případě je ovšem nutné mít bud' nejaky tok do sledované oblasti  
nebo -ii- zdroj ve -ii-

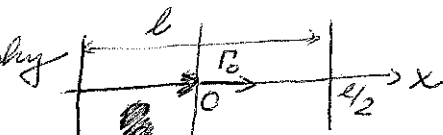
a) Nejednodušší případ je pro tok výstupující na jedné straně dleky  
a vstupující na druhé

$$\frac{\partial m}{\partial t} - D \nabla^2 m = 0 \Rightarrow -D \frac{\partial^2 m}{\partial x^2} = 0$$

$$m = Ax + B$$

$$\text{pro } R(0) = R_0 \text{ a } m\left(\frac{l}{2}\right) = 0 \Rightarrow m = \frac{R_0}{D} \left(\frac{l}{2} - x\right)$$

$$R = -D \nabla m \dots \text{mává na } x$$



b) Kádý mod' je ionice určitá sledované oblasti

$$\frac{\partial m}{\partial t} - D \nabla^2 m = \omega_{12} m \quad \text{a opět náme 1D případ}$$

$\Rightarrow$  nově stejno typu jako v 3.2.1 (čas. závis. řešení, poté po separaci proměnných)  $\Rightarrow \frac{d^2 X}{dx^2} = -\frac{X}{DC}$

$$m = m_0 \cos \beta x$$

$$\text{Ide } \beta = \sqrt{\frac{\omega_{12}}{D}}$$

$$\text{Tok } R = -D \frac{dm}{dx} = D m_0 \beta \sin(\beta x)$$

$$\text{difuzní výkloky } u = \frac{R}{m} = D \beta \lg(\beta x)$$

$$\text{Pro okrajové podm. } m\left(\frac{l}{2}\right) = m\left(-\frac{l}{2}\right) = 0$$

$$\text{máme } m = m_0 \cos \frac{\pi x}{l}$$

$$\text{a ledy } \beta = \sqrt{\frac{\omega_{12}}{D}} = \frac{\pi}{l}$$

což ne může zdat dione', protože  $\omega_{12}, D$  jsou po prostředí jen ovšem po teploty a tento vztah je ledy závislé nemáce po teplotu.

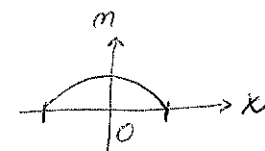
~~protože~~ je tuba velká do výkly, že bylo okraj. podm. nejsou self-consistentní. To vidíme, když  $R\left(\frac{l}{2}\right) = D m_0 \frac{\pi}{l}$  ale zároveň  $R\left(\frac{l}{2}\right) = m\left(\frac{l}{2}\right) u\left(\frac{l}{2}\right)$

"zdroj" "0"

$$\Rightarrow u \rightarrow \infty$$

což nemůže nastat,

Takže bylo okrajové podmínky nejsou úplně správné!



Pro ambiguoální difuzi' mohou dát

$$D = Da \quad \text{a el. pole } E = \frac{D_i - De}{m_i + M_e} \frac{\nabla m}{m}$$

$$D_i = \frac{k T_i}{m_i \cdot \gamma m_i} \ll \frac{k T_e}{m_e \cdot \gamma m_e} = De$$

$\Rightarrow E$  je velké  
ledy ve směru ohně  $x \Rightarrow$  udržuje se vzdáleně

Vidíme, že na obnáší plazmatu  $x = \frac{l'}{2}$ , kde  $\frac{l'}{2} = \frac{l}{2} - \frac{\lambda_i}{2} \rightarrow$   
je drift. rychlosť je Bohmova rychlosť

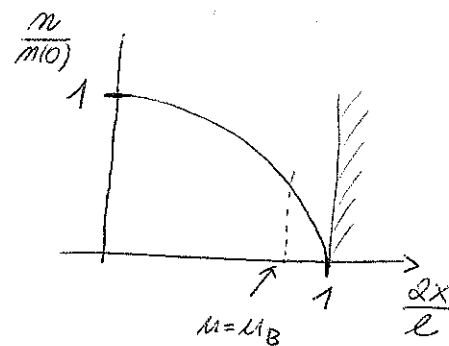
Nezáleží na den. vlnky

$$u_B = \sqrt{\frac{kT_e}{m_i}}$$

~~Úplne rovnaký~~  $u = D \sqrt{\frac{2\lambda_i}{D}} \lg \left( \sqrt{\frac{2\lambda_i}{D}} \frac{l}{2} \right) = u_B$ 

$\beta$

po velmi lenkej skrátenej vlnke  $l' \approx l$   
a opäť jde o rovnici pre teplodu  $T_e$



### 3.3 Řešení pro miské plaky

#### 3.3.1 Model proměnné polohy iontů

o miskách je významný fakt, že iontová rychlosť má misku s neutralním zdrojem neutrálky, zatímco driftová rychlosť  $|\bar{u}_i|$  ne je stejná  $v_{thi}$ , protože  $|v_{thi}| \gg |\bar{u}_i|$  ve vnitřní oblasti výboje. Místo  $\lambda_i = \frac{\bar{v}_i}{2m}$  máte  $\lambda_i \approx \frac{|\bar{u}_i|}{2m}$  a tedy  $\lambda_i \approx \frac{|\bar{u}_i|}{2m} \approx \frac{1}{m_i}$ . Nejdříve mít  $u = \frac{2e\lambda_i}{\pi m_i \lambda_i^2}$ , kde a misk. frekvence závisí na drift. rychlosti. Můžeme psát  $u_i = \frac{2e\lambda_i}{\pi m_i \lambda_i^2}$ , kde  $\lambda_i$  v součinném normativu rychlosť bude konstantou. My jsme ale na základě předp., že  $2m$  závisí na  $\bar{u}_i$  miskovit. To platí pro miské plaky, kde ionty nezískají další drift. rychlosť.

Po miské plaky už to neplatí. Můžeme ověřit dalej předp.  $u_i \gg u_{thi}$ ,  $T_e \gg T_i$ .

- Dále předp., že ion. driftová rychlosť je vedená působením el. pole dominuje na drift. rychlosti kvůli  $\nabla \phi \rightarrow \bar{u}_i = u_i \vec{E}$

- Po elektronym polech ~~po elektronym polech~~ je drift. rychlosť je zanedbatelná  $\Rightarrow$

$$\vec{E} = -\frac{kT_e}{e} \frac{\nabla m}{m}$$

(To odpovídá předp., že hundola  $e^-$  je dáná Bolenim faktorem - viz kap. 1.)  
 $e m_e E + \nabla p_{e0} = 0$   
 $e m_e E + kT_e \nabla m_e = 0$   
 a řešení po  $E = \nabla \phi \quad m = m_0 e^{\frac{e\phi}{kT_e}}$ )

- Po iontové verovatnosti kontinuity v určitých místech

$$\nabla \cdot (m \bar{u}_i) = m \dot{u}_i$$

Rozdělíme opět na 1D

$$u_i = \frac{u_i \cdot E}{E} \quad u_i = \frac{2e\lambda_i}{\pi m_i u_i} E = - \frac{2e\lambda_i}{\pi m_i u_i} \frac{kT_e}{e} \frac{dm}{dx} \frac{1}{m}$$

$$u_i = \sqrt{\frac{kT_e}{m_i} \frac{2}{\pi} \frac{\lambda_i}{m} \frac{dm}{dx}} = u_B \sqrt{\frac{2\lambda_i}{\pi}} \sqrt{-m \frac{dm}{dx}}$$

Dordějme do rovnice kontinuity

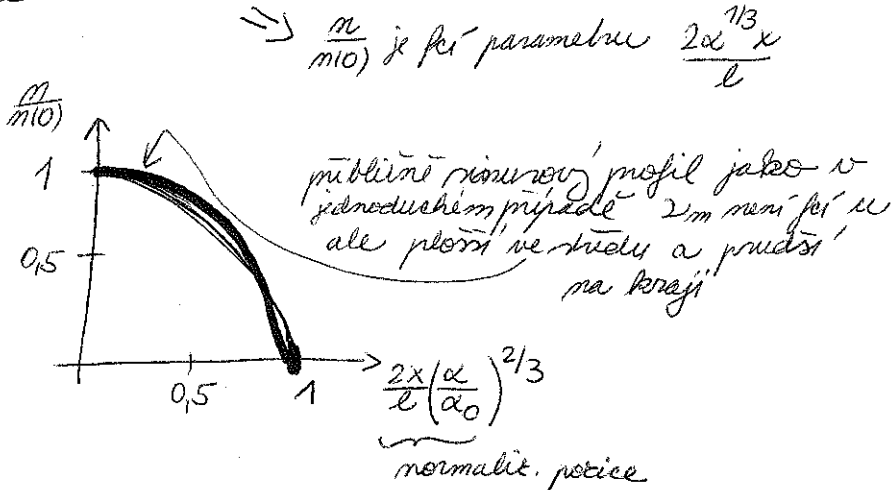
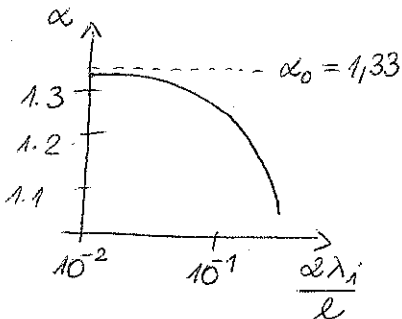
$$u_B \sqrt{\frac{2\lambda_i}{\pi}} \frac{d}{dx} \sqrt{-m \frac{dm}{dx}} = \dot{u}_i m$$

To je nelineární rovnice, řešení (Godyak + Maximov 1986) pro  $u_i = u_B$  má  
okraj stenové vlnky

$$\alpha^{2/3} \xi = \frac{1}{2} \ln \left[ (1-y^3)^{1/3} + y \right] + \frac{1}{\sqrt{3}} \operatorname{tg}^{-1} \left[ \frac{2(y^3-1)^{1/3}}{\sqrt{3}} - 1 \right] + \frac{\pi}{6\sqrt{3}}$$

dle  $\xi = \frac{2x}{l}$  )  $y = \frac{m}{m_0}$  a  $\alpha = \frac{2\lambda_i l}{2u_B} \left( \frac{\pi l}{4\lambda_i} \right)^{1/2} \approx 1,75$  normalizovaná ioniz. rychlosť

*normalizovaná  
hustota*



### 3.3.2 Langmuirovo řezení

Pro velmi nízký tlak můžeme považ., že se ionty mohou  $\lambda_i > l$ .

Pak opět použijeme Boltzm. vztah pro  $e^-$  ale ion. diff. ronici  $u_i = u_i E$  nahradíme ~~ion~~ z.z. energie  $\frac{1}{2} m_i u_i^2 + e\phi = 0$

Je to ekvivalentní vztahu, že v počít. ronici necháme iner. člen  $m n \frac{du}{dt}$  a člen s el. polem.

Ronici z.z.E je možné zapsat v podobě ion. typ. rychlosť ve stínu plazmatu, kde  $\phi = 0$ . jinde je  $\phi < 0$ .

Rozdělíme možnost  $u_i$  a  $\phi$  nahradíme z Boltzm. vztahu pro  $e^-$   $n = n_0 e^{\frac{e\phi}{kT_e}}$

$$\frac{d}{dx} \left[ n \cdot u_i \right] = \nu_{iz} n$$

$$\frac{d}{dx} \left[ \left( -\frac{2kT_e}{m_i} \ln \frac{n}{n_0} \right)^{1/2} \cdot n \right] = \nu_{iz} n$$

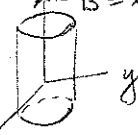
### 3.4 Difuzie v mg. poli

#### 3.4.1. Uvod

- v působnosti mg. pole
- el. pole
- gradienti hustoty

Ve slabé ioniz. plazmě jsou nejdůležitější  $e^-$ , protože mají malý gyroscopický radius.

charakteristické vlny



gradienty hustoty mívají deonity

ambipol. el. pole  $\rightarrow$

(vznikají slabé magnetizované ionty)



Když  $e^-$  rotuje kolem náče a dojde ke náče  $\rightarrow$  změna měření  $\rightarrow$  počet gyroscopických měření  $\propto$  měření pole měření  $n_{ce}$ . Proces je náležející = difuzní a počet měření  $\ll \lambda_e$  takže  $n_{ce}$  nahrazuje je jeho vln. dráhu

měření vlny  
dráha  $e^-$

Počet mg. pole se nes rovnat měření. Ve mřeření  $L$  napříme počet měř. mř.

$$0 = q_m n_a (\vec{E} + \vec{u}_{\perp x} \times \vec{B}_0) - kT \nabla n_a - m_a n_a v_{\perp a} \vec{u}_{\perp a}$$

$a = e^-$ , ionty ... dálka bez mř.!  
isotermické plasma, když mř. energie = dřív. mř. a  $T = \text{konst.} \Rightarrow$   
 $\Rightarrow p = kT \nabla n$

inicialní číslo  $\frac{dt}{dt}$  zaveden ... mř. dalekost velké  $\gg \lambda_m$  (velké mřek)

ve rovnacích

$$m n v_m u_x = q_m E_x - kT \frac{\partial n}{\partial x} + q_m u_y B_0 \quad | : mn v_m$$

$$m n v_m u_y = q_m E_y - kT \frac{\partial n}{\partial y} - q_m u_x B_0$$

pomocí definice  $\mu$  a  $D$  ( $\mu = \frac{|q|}{m \lambda_m}$ ,  $D = \frac{kT}{m \lambda_m}$ ) a  $w_c = \frac{q B_0}{m}$

$$u_x = \pm \mu E_x - \frac{D}{m} \frac{\partial n}{\partial x} + \frac{w_c}{\lambda_m} u_y$$

$$u_y = \pm \mu E_y - \frac{D}{m} \frac{\partial n}{\partial y} - \frac{w_c}{\lambda_m} u_x$$

Napříme pro  $u_x$  a  $u_y$ :

$$[1 + (\omega_c \tau_m)^2] u_x = \pm \mu E_x - \frac{D}{n} \frac{\partial n}{\partial x} + (\omega_c \tau_m)^2 \frac{E_y}{B_0} - (\omega_c \tau_m)^2 \frac{kT}{q B_0} \frac{1}{n} \frac{\partial n}{\partial y} \quad (5.4.3a)$$

$$\text{Ode} \quad \tau_m \equiv \frac{1}{\lambda_m}$$

$$[1 + (\omega_c \tau_m)^2] u_y = \pm \mu E_y - \frac{D}{n} \frac{\partial n}{\partial y} + (\omega_c \tau_m)^2 \frac{E_x}{B_0} + (\omega_c \tau_m)^2 \frac{kT}{q B_0} \frac{1}{n} \frac{\partial n}{\partial x}, \quad (5.4.3b)$$

když  $\mu$  a  $D$  podělíme faktorem  $1 + (\omega_c \tau_m)^2$  dostáváme  $u_{\perp}$  a  $D_{\perp}$

$$u_{\perp} = \frac{\mu}{1 + (\omega_c \tau_m)^2} \quad , \quad D_{\perp} = \frac{D}{1 + (\omega_c \tau_m)^2}$$

Ve vektorech podobné mříme  $\vec{u}_{\perp}$

$$\vec{u}_{\perp} = \pm \mu_{\perp} \vec{E} - D_{\perp} \frac{\nabla n}{m} + \frac{\vec{u}_E + \vec{u}_D}{1 + (\omega_c \tau_m)^2}$$

$$\text{Ode} \quad \vec{u}_E = \frac{\vec{E} \times \vec{B}_0}{B_0^2} \quad \dots \quad E \times B \text{ drift}$$

$$\vec{u}_D = - \frac{kT}{n B_0^2} \frac{\nabla n \times \vec{B}_0}{m} \quad \dots \quad \text{diamagnetický drift} \quad \left. \begin{array}{l} \text{Odejde helmholtzova} \\ \text{pole a gradient hustoty} \end{array} \right.$$

- drifty  $\perp$  na pole  $\alpha \perp \nabla m$  ( $\vec{v}_E, \vec{v}_D$ ) - zpomaleny mřížkami  
 $\omega_m \uparrow \Rightarrow \tau_m \downarrow \Rightarrow \frac{1}{1 + (\omega_c \tau_m)^2} \downarrow$
- Jdy způsobem polohy iontů  $\perp$  difuzi  $D$  - využij počet mřížky  
 $\perp$  na pole, ALE  $\parallel \nabla m$   
- jen zpomaleny průměrností mg. pole  
 $\omega_c = \frac{qB_0}{m} \uparrow \Rightarrow \frac{1}{1 + (\omega_c \tau_m)^2} \downarrow$

Pokud jsou drifty  $\vec{v}_E, \vec{v}_D$  v nějakém plánu souběžné,  
vede k nezáležitosti, anomálnímu transportu ( $\perp$  na  $\nabla m$ ) a významnou procesu.

Faktor  $\omega_c \tau_m$  je důležitou veličinou pro mg. udržení.

Pro  $\omega_c \tau_m \gg 1$  - silné zamezení difuzi  $D_{\perp} = \frac{kT}{m \omega_m} \frac{1}{(\omega_c \tau_m)^2} = \frac{kT \omega_m}{m \omega_c^2}$   
zanedbatelné (1+)

$$\Rightarrow D_{\perp} \sim \omega_m \quad (\text{tedy } D_{\parallel} \sim \frac{1}{\omega_m})$$

protože  $\omega_m \sim m^{-1/2}$  (pro kvant. energii a říčinný průvaz:  $\omega = m g \hbar \cdot \pi = m g \hbar \sqrt{\frac{2E}{m}}$ )  
je  $D_{\perp} \sim m^{1/2}$  a  $D_{\parallel} \sim m^{-1/2}$  ... tedy elektr.  $e^-$  se bez mg. pole pohybují  
rychleji a silně je poháněn poloh.  $\perp$

z elektického principu „náhodné pohárky“:  $\bar{\omega}^2 = \underbrace{\frac{8kT}{\pi m}}_{D_{\perp}} \quad \bar{\kappa}_c = \frac{\bar{\omega}}{\omega_c}$

$$D_{\perp} = \frac{\pi}{8} \bar{\kappa}_c^2 \omega_m$$

a pro ~~náhodnou~~ náhodnou pohárku "difuze bez mg. pole"  
jime máme  $D = \frac{\pi}{8} \lambda^2 \omega_m$  (protože  $\lambda = \frac{\bar{\omega}}{\omega_m}$ )

$$\Rightarrow \bar{\kappa}_c \ měří  $\lambda$  (střední vzdálenost dráhy)$$

### 3.4.2 Ambipolární difuze

a) Schod zpět o plánu pohárky počet iontů na mg. pole:  
nemoví tekou  $e^-$  a iontu (jde právě o amb. difuze) dává  $\perp$  amb. dif. koef.

$$D_{ia} = \frac{\mu_{\perp i} D_{\perp e} + \mu_{\perp e} D_{\perp i}}{\mu_{\perp i} + \mu_{\perp e}}$$

pro  $\mu_{\perp i} \gg \mu_{\perp e}$  lze je mg. pole silně, dostáváme  $D_{ia} = D_E \left( 1 + \frac{T_i}{T_e} \right)$

(tedy obecně nebez mg. pole, kde jme nazval mol. prst.,  $T_i \ll T_e$ )

$\Rightarrow$  množ. je amb. dif. koef. dán paralelními  $e^-$ , ale ve skutečném plánu  
 $T_i \ll T_e$  takže  $D_{ia} = D_{\perp e}$

The density gradient points radially inward, and the ambipolar electric field, to contain the weakly magnetized ions, also points inward. When an electron gyrating around a line of force suffers a collision, it changes its direction, which would tend to move its center of gyration, on the average, by a gyration radius  $r_{ce}$ . This process is random, and therefore diffusive, with  $r_{ce}$  replacing  $\lambda_e$  as the diffusion mean free path when  $r_{ce} \ll \lambda_c$ .

To derive the perpendicular diffusion coefficient, we write the perpendicular component of the fluid equation for either species from (2.3.15):

$$0 = qn(E + \mathbf{u}_\perp \times \mathbf{B}_0) - kT\nabla n - mn\nu_m \mathbf{u}_\perp,$$

where we have again assumed an isothermal plasma and taken  $\nu_m$  sufficiently large that the inertial (time-derivative) term is negligible. It is convenient to express the vector equation in terms of the rectangular components (taken to be  $x$  and  $y$ ):

$$mn\nu_m u_x = qnE_x - kT \frac{\partial n}{\partial x} + qnu_y B_0 \quad (5.4.1a)$$

$$(5.4.1b)$$

and

$$mn\nu_m u_y = qnE_y - kT \frac{\partial n}{\partial y} - qnu_x B_0$$

$$(5.4.1b)$$

The assumption that the diffusion takes place only across the magnetic field is almost never satisfied. Even for finite length systems in which  $l$  (along  $B_0$ )  $\gg d$  (across  $B_0$ ), the more rapid diffusion along  $B_0$  is usually important. We therefore consider the regime in which  $l \sim d$ , as shown in Fig. 5.4. For simplicity, rectangular coordinates are used and the  $y$  direction is taken to be uniform and of infinite extent. Since the walls are conducting, it is clear that the fluxes across and along  $B_0$  are coupled, and ambipolarity requires only that the total electron and ion fluxes integrated over the wall surfaces to be equal.

3)  $\Gamma_i \neq \Gamma_e$  and currents must flow in the wall.

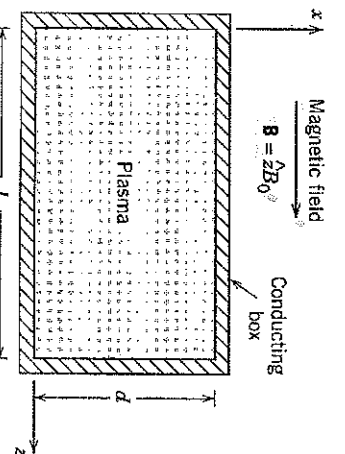


FIGURE 5.4. A plasma-filled conducting box in a dc magnetic field, illustrating the calculation of ambipolar diffusion in a magnetized plasma.

$$T_{i\perp} \frac{d}{T_i} \frac{\partial T_i}{\partial n} \text{ on } \Gamma_{i\perp}$$

on

18,

$$D_{\perp a} \sim \mu_{\perp i} T_e \sim D_{\perp i} \frac{T_e}{T_i} \quad (5)$$

in place of (5.4.18). For  $d \sim l$ , this can lead to substantial perpendicular ion losses in magnetized discharges, as observed in ECR measurements and simulations.

It is well known that plasmas not in thermal equilibrium are subject to instabilities. This is a major subject of fully ionized, near collisionless plasmas, and is treated in detail in most texts on plasma physics (see, for example, Chen, 1984). Magnetic field confinement is one source of such disequilibrium that leads to various instabilities which tend to destroy the confinement. Large-amplitude disturbances can lead to turbulent diffusion, which has the upper limit of the *Bohm diffusion coefficient*,

$$\boxed{D_{\perp a} = \frac{\mu_i D_{\perp e} + \mu_e D_{\perp i}}{\mu_i + \mu_e}} \quad (5.4.17)$$

perpendicular to the field. We see that the parallel diffusion is the same as the case without an applied magnetic field. However, (5.4.17) and (5.4.11) are not the same.

Since  $\mu_e \gg \mu_i$  and normally  $D_{\perp i} \geq D_{\perp e}$ , (5.4.17) simplifies to

$$\boxed{D_{\perp a} \approx D_{\perp i}} \quad (5.4.18)$$

With this approximation the diffusion equation (5.4.15) becomes

$$\frac{\partial n}{\partial t} = D_a \frac{\partial^2 n}{\partial z^2} + D_{\perp i} \frac{\partial^2 n}{\partial x^2} \quad (5.4.19)$$

such that the perpendicular loss of ions is by free (not ambipolar) diffusion alone. Physically this corresponds to a situation in which the electrons, flowing along field lines, almost completely remove the negative charge that produces  $E_x$ . Since electrons preferentially flow out along the field and ions flow out perpendicular to the field,

$\Gamma_i \neq \Gamma_e$  and currents must flow in the wall.

If electron flow along field lines is impeded by inertial or collisional effects or if the axial sheath voltage  $V_s$  varies with  $x$ , then there can be a substantial ion acceleration potential ( $E_s d \gtrsim T_i$ ). In this case the perpendicular ion diffusion term in (5.4.14) is smaller than the mobility term and the preceding derivation of  $D_{\perp a}$  is invalid. There is experimental evidence (see Lieberman and Gotscho, 1994, Section VIII.D.2) and also computer simulations (Porteous et al., 1994) that indicate the existence of these radial potentials in magnetized processing discharges such as ECR's (see Section 13.1). Measurements and simulations both show that ions are lost radially from the bulk plasma with a characteristic loss velocity of order the Bohm velocity  $v_B = (eT_e/M)^{1/2}$ . However, radial expansion of field lines might affect the results. If an electric field exists across field lines with magnitude  $E_x \sim T_e/d$ , then we can estimate  $\Gamma_{i\perp} \sim \mu_{\perp i} n T_e / d$ . Then defining  $D_{\perp a}$  through  $\Gamma_{i\perp} \equiv -D_{\perp a} dn / dx \sim D_{\perp a} n / d$ , we obtain

$$D_{\perp a} \sim \mu_{\perp i} T_e \sim D_{\perp i} \frac{T_e}{T_i} \quad (5)$$

Thus, the ambipolar diffusion coefficients are

$$\boxed{D_{\parallel a} = \frac{\mu_i D_c + \mu_e D_i}{\mu_i + \mu_e}} \quad (5.4.16)$$

parallel to the field, and

$$\boxed{D_{\perp a} = \frac{\mu_i D_{\perp e} + \mu_e D_{\perp i}}{\mu_i + \mu_e}} \quad (5.4.17)$$

perpendicular to the field. We see that the parallel diffusion is the same as the case without an applied magnetic field. However, (5.4.17) and (5.4.11) are not the same.

Since  $\mu_e \gg \mu_i$  and normally  $D_{\perp i} \geq D_{\perp e}$ , (5.4.17) simplifies to

$$D_B = \frac{1}{16} \frac{T_e}{B} \quad (5.4.20)$$

The scaling with  $B$  makes Bohm diffusion increasingly important as a source of cross-field diffusion at high magnetic fields, since from (5.4.10), we see that classical cross-field diffusion scales as  $D_{\perp} \propto 1/B^2$ . Bohm diffusion tends to be less important at high collisionality (low temperature and high pressure) both due to the comparative scaling of  $D_B$  to  $D_{\perp}$  and also due to the fact that high collisionality tends to inhibit some of the instabilities. We have not considered nonclassical diffusion in this text. The reader wishing to explore the subject further can turn to Chen or other texts on high-temperature plasmas.

The diffusion is obtained from the continuity equations for electrons and ions:

$$\frac{\partial n}{\partial t} = D_e \frac{\partial^2 n}{\partial z^2} + \mu_e \frac{\partial}{\partial z} (nE_x) + D_{\perp e} \frac{\partial^2 n}{\partial x^2} + \mu_{\perp e} \frac{\partial}{\partial x} (nE_x) \quad (5.4.13)$$

$$\frac{\partial n}{\partial t} = D_i \frac{\partial^2 n}{\partial z^2} - \mu_i \frac{\partial}{\partial z} (nE_x) + D_{\perp i} \frac{\partial^2 n}{\partial x^2} - \mu_{\perp i} \frac{\partial}{\partial x} (nE_x) \quad (5.4.14)$$

Exact two-dimensional solutions to these two coupled nonlinear diffusion equations have not been obtained. Letting  $V_{s\perp}$  and  $V_{s\parallel}$  be the potential drops across the perpendicular and parallel sheaths, then because the plasma is surrounded by a conducting wall, the potential in the center can be estimated as

$$\Phi \sim V_{s\parallel} + \frac{1}{2} E_x l \sim V_{s\perp} + \frac{1}{2} E_x d$$

Two limiting cases can be considered depending on the size of  $E_x$ . For  $E_x d \ll T_i$ , the perpendicular mobility terms in (5.4.13) and (5.4.14) are small compared to the perpendicular diffusion terms. Dropping the mobility terms, as done by Simon (1959), multiplying (5.4.13) by  $\mu_i$  and (5.4.14) by  $\mu_e$  and adding the two equations, we obtain

$$\frac{\partial n}{\partial t} = \frac{\mu_i D_e + \mu_e D_i}{\mu_i + \mu_e} \frac{\partial^2 n}{\partial z^2} + \frac{\mu_i D_{\perp e} + \mu_e D_{\perp i}}{\mu_i + \mu_e} \frac{\partial^2 n}{\partial x^2} \quad (5.4.15)$$

Thus, the ambipolar diffusion coefficients are

$$D_{\parallel a} = \frac{\mu_i D_e + \mu_e D_i}{\mu_i + \mu_e} \quad (5.4.16)$$

parallel to the field, and

$$D_{\perp a} = \frac{\mu_i D_{\perp e} + \mu_e D_{\perp i}}{\mu_i + \mu_e} \quad (5.4.17)$$

perpendicular to the field. We see that the parallel diffusion is the same as the case without an applied magnetic field. However, (5.4.17) and (5.4.11) are not the same. Since  $\mu_e \gg \mu_i$  and normally  $D_{\perp i} \geq D_{\perp e}$ , (5.4.17) simplifies to

$$D_{\perp a} \approx D_{\perp i} \quad (5.4.18)$$

With this approximation the diffusion equation (5.4.15) becomes

$$\frac{\partial n}{\partial t} = D_a \frac{\partial^2 n}{\partial z^2} + D_{\perp a} \frac{\partial^2 n}{\partial x^2} \quad (5.4.19)$$

such that the perpendicular loss of ions is by free (not ambipolar) diffusion alone. Physically this corresponds to a situation in which the electrons, flowing along field lines, almost completely remove the negative charge that produces  $E_x$ . Since electrons preferentially flow out along the field and ions flow out perpendicular to the field,  $\Gamma_i \neq \Gamma_e$  and currents must flow in the wall.

If electron flow along field lines is impeded by inertial or collisional effects or if the axial sheath voltage  $V_{s\parallel}$  varies with  $x$ , then there can be a substantial ion acceleration potential ( $E_x d \gtrsim T_i$ ). In this case the perpendicular ion diffusion term in (5.4.14) is smaller than the mobility term and the preceding derivation of  $D_{\perp a}$  is invalid. There is experimental evidence (see Lieberman and Gotsch, 1994, Section VIII.D.2) and also computer simulations (Porteous et al., 1994) that indicate the existence of these radial potentials in magnetized processing discharges such as ECR's (see Section 13.1). Measurements and simulations both show that ions are lost radially from the bulk plasma with a characteristic loss velocity of order the Bohm velocity  $v_B = (eT_e/M)^{1/2}$ . However, radial expansion of field lines might affect the results. If an electric field exists across field lines with magnitude  $E_x \sim T_e/d$ , then we can estimate  $\Gamma_{\perp i} \sim \mu_{\perp i} n T_e / d$ . Then defining  $D_{\perp a}$  through  $\Gamma_{\perp i} \equiv -D_{\perp a} dn / dx \sim D_{\perp a} n / d$ , we obtain

$$D_{\perp a} \sim \mu_{\perp i} T_e \sim D_{\perp i} \frac{T_e}{T_i}$$

in place of (5.4.18). For  $d \sim l$ , this can lead to substantial perpendicular ion losses in magnetized discharges, as observed in ECR measurements and simulations.

It is well known that plasmas not in thermal equilibrium are subject to instabilities. This is a major subject of fully ionized, near collisionless plasmas, and is treated in detail in most texts on plasma physics (see, for example, Chen, 1984). Magnetic field confinement is one source of such disequilibrium that leads to various instabilities which tend to destroy the confinement. Large-amplitude disturbances can lead to turbulent diffusion, which has the upper limit of the *Bohm diffusion coefficient*,

$$D_B = \frac{1}{16} \frac{T_e}{B} \quad (5.4.20)$$

The scaling with  $B$  makes Bohm diffusion increasingly important as a source of cross-field diffusion at high magnetic fields, since from (5.4.10), we see that classical cross-field diffusion scales as  $D_{\perp} \propto 1/B^2$ . Bohm diffusion tends to be less important at high collisionality (low temperature and high pressure) both due to the comparative scaling of  $D_B$  to  $D_{\perp}$  and also due to the fact that high collisionality tends to inhibit some of the instabilities. We have not considered nonclassical diffusion in this text. The reader wishing to explore the subject further can turn to Chen or other texts on high-temperature plasmas.

## 5.5 MAGNETIC MULTIPOLE CONFINEMENT

In magnetic multipole confinement, a set of alternating rows of north and south pole permanent magnets is placed around the surface of a discharge chamber. A typical configuration, with the rows arranged around the circumference of a cylindrical chamber, is shown in Fig. 5.5. In some cases, one or both cylindrical endwalls are also covered with rows of magnets. Commonly, each row is composed of a set of many permanent magnets (diameter  $\sim 1$  inch,  $B_0 \sim 1$  kG). The alternating rows of magnets generate a *line cusp* magnetic configuration in which the magnetic field strength  $B$  is a maximum near the magnets and decays with distance into the chamber, as shown in Fig. 5.5. Hence most of the plasma volume can be virtually magnetic field free, while a strong field can exist near the discharge chamber wall, inhibiting plasma loss and leading to an increase in plasma density and uniformity.

### Magnetic Fields

The structure of the magnetic field can be understood by unwrapping the circumference to obtain the alternating periodic arrangement of magnet rows in rectangular geometry shown in Fig. 5.6. Assuming that each row of magnets has a width  $\Delta \ll d$ , the separation of the rows, then  $B_y$  at  $y = 0$  can be approximated as

$$B_y(x, 0) = B_0 \Delta \sum_{i=-\infty}^{\infty} (-1)^i \delta\left(x - id - \frac{d}{2}\right) \quad (5.5.1)$$

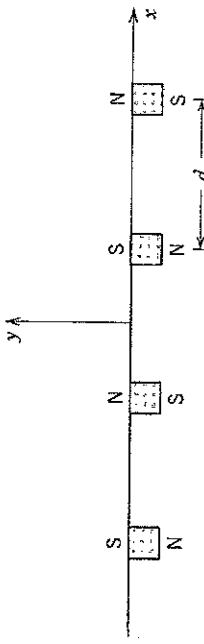


FIGURE 5.6. Schematic for determining multipole fields in rectangular geometry.

where  $\delta$  is the Dirac delta function. Introducing the Fourier transform,

$$B_y(x, 0) = \sum_{m=1}^{\infty} A_m \sin \frac{m\pi}{d} x \quad (5.5.2)$$

and equating (5.5.1) and (5.5.2), then if we multiply by  $\sin(\pi x/d)$  and integrate from 0 to  $d$ , we obtain the fundamental ( $m = 1$ ) Fourier mode amplitude  $A_1$ , such that

$$B_{y1}(x, 0) = \frac{2B_0\Delta}{d} \sin \frac{\pi x}{d} \quad (5.5.3)$$

Because  $\nabla \cdot \mathbf{B} = 0$  and  $\nabla \times \mathbf{B} = 0$  for  $y > 0$ ,  $B_{y1}$  satisfies Laplace's equation:

$$\frac{\partial^2 B_{y1}}{\partial x^2} + \frac{\partial^2 B_{y1}}{\partial y^2} = 0 \quad (5.5.4)$$

The solution to (5.5.4) with boundary conditions that  $B_{y1}(x, 0)$  is given by (5.5.3) and that  $B_{y1}(x, y \rightarrow \infty)$  is not infinite is

$$B_{y1}(x, y) = \frac{2B_0\Delta}{d} \sin \frac{\pi x}{d} e^{-\pi y/d} \quad (5.5.5)$$

From the  $z$  component of  $\nabla \times \mathbf{B} = 0$ , we have

$$\frac{\partial B_{x1}}{\partial y} = \frac{\partial B_{y1}}{\partial x} \quad (5.5.6)$$

Using (5.5.5) in (5.5.6) and integrating with respect to  $y$ , we obtain

$$B_{x1}(x, y) = -\frac{2B_0\Delta}{d} \cos \frac{\pi x}{d} e^{-\pi y/d} \quad (5.5.7)$$

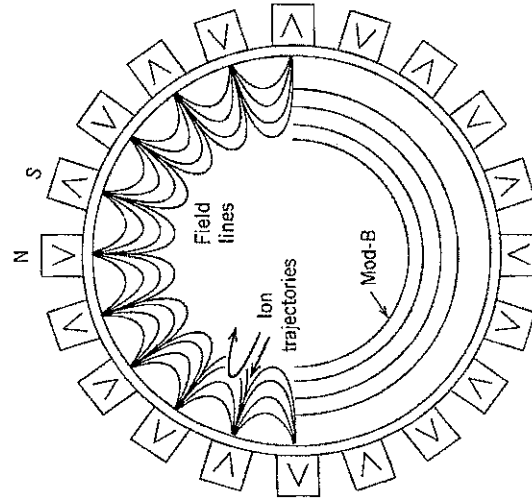


FIGURE 5.5. Magnetic multipole confinement in cylindrical geometry, illustrating the magnetic field lines and the  $|\mathbf{B}|$  surfaces near the circumferential walls.

The field amplitude is  $B_1 = (B_{x1}^2 + B_{y1}^2)^{1/2}$ . Using (5.5.5) and (5.5.7), we obtain

$$B_1(x, y) = \frac{2B_0\Delta}{d} e^{-\pi y/d} \quad (5.5.8)$$

showing an exponential decay that is independent of  $x$  into the discharge column with decay length  $d/\pi$ . The smooth  $B_1$  surfaces, as well as the alternating  $B_{y1}$  and  $B_{z1}$  components can be clearly seen in Fig. 5.5. The higher-order Fourier modes with nonzero coefficients ( $m = 3, 5, \dots$ ) have even shorter decay lengths ( $d/3\pi, d/5\pi, \dots$ ), and their effect is negligible a short distance from the chamber wall. Thus, we expect this picture to hold at distances significantly greater than  $d/\pi$  within the plasma chamber. Midway between the magnets (at  $x = 0, \pm d, \dots$ ), the magnetic field is zero at  $y = 0$  and rises to a maximum value

$$B_{\max} = \frac{\pi^2 \Delta^2}{8 d^2} B_0$$

at  $y \approx 0.28 d$ , after which it decays exponentially with  $y$ . The diffusion across this region is important in determining the confinement properties of the multipoles.

### Plasma Confinement

Experimentally (Leung et al., 1975, 1976), multipole fields have been found to have three important effects on low-pressure plasma confinement:

1. Hot electrons, having energies  $\gtrsim$  dc sheath potential, can be efficiently confined, provided there is end confinement either with magnetic mirrors, multipoles, or negative electrostatic potentials. These electrons, if created and trapped at low pressures (large mean free path compared to the discharge size) can be the main ionization source for a discharge.
2. Significant (but not large) improvements can be obtained in the confinement of the bulk (low-temperature) plasma in a discharge.
3. Significant improvements in radial plasma uniformity can be obtained.

The effects can, at least partly, be understood in terms of magnetic mirroring in the cusps as governed by (4.3.15). The energetic electrons that are not lost by moving parallel to field lines are mirrored as they move into the higher field near the cusp. Their velocity vectors with respect to the magnetic field at the wall are randomized within the central plasma chamber, where (4.3.15) does not hold. The number of reflections from the cusp then depends on the size of the "loss cone" angle in velocity space compared to the possible solid angle of  $4\pi$  within which the velocity vector can be found. At lower velocities (or higher pressures) the scattering can take place collisionally on the outward flight, greatly increasing the loss rate. Ambipolar fields also play a part, but in a complicated manner. The improvement in plasma uniformity

follows because the diffusion is inhibited in the region of strong magnetic field, as described in Section 5.4. Thus, most of the density gradient occurs at the plasma edge, where the diffusion coefficient is small, leading to a relatively uniform central region.

As an example (Leung et al., 1975), a low-pressure dc argon discharge was created in a 30-cm-diameter, 33-cm-long chamber by primary energetic electrons emitted from a hot filament placed inside the chamber and biased at -60 V. With multipoles and at  $P = 0.8$  mTorr, the energetic electrons were confined for up to 70 bounces within the chamber, and the plasma density was increased by approximately a factor of 100. Of this increase, roughly a factor of 30 was measured to be due to the increased confinement of the energetic electrons, and an additional factor of three increase was due to the improvement in confinement for the bulk plasma. However, in most processing discharges the ionization is not produced by a class of very energetic electrons, and the second and third effects listed above are most significant.

A useful concept to discuss confinement is the *effective leak width w* of a line cusp. If there are  $N$  cusps of width  $w$ , then the effective circumferential loss width is  $Nw$  and the fraction  $f_{\text{loss}}$  of diffusing electron-ion pairs that will be lost to the wall is

$$f_{\text{loss}} = \frac{Nw}{2\pi R}, \quad Nw < 2\pi R \quad (5.5.9)$$

The boundary condition at the wall ( $y \approx 0$ ) for the ambipolar diffusion of plasma within the field-free discharge volume is then

$$\Gamma_{\text{wall}} = f_{\text{loss}} n_{\text{s}} u_{\text{B}} \quad (5.5.10)$$

We return to the example in Section 5.2 of steady-state diffusion in a plasma slab of length  $l$  with an ionization source proportional to the density. The density profile is given by (5.2.15). Equating  $\Gamma(l/2)$  in (5.2.17) to  $\Gamma_{\text{wall}}$  in (5.5.10), we obtain, for a thin sheath,

$$\frac{f_{\text{loss}} u_{\text{B}}}{D_{\text{a}} \beta} = \tan \frac{\beta l}{2} \quad (5.5.11)$$

This transcendental equation for  $\beta$  must in general be solved numerically. However, if  $f_{\text{loss}}$  is not too small, such that the left-hand side of (5.5.11) still remains much greater than unity, then we can approximate  $\beta \approx \pi/l$  on the left-hand side to obtain

$$\tan \frac{\beta l}{2} = \frac{f_{\text{loss}} u_{\text{B}} l}{\pi D_{\text{a}}} \quad (5.5.12)$$

This is the usual regime for most processing discharges. Taking the ratio of  $u_{\text{s}} = n(l/2)$  to  $n_0 = n(0)$ , and using (5.2.15) to substitute for  $\tan(\beta l/2)$  in terms of  $n_{\text{s}}$ , we

#### 4. Nejnověrná stěn. orba

#### 4.1. Základní výbavu a novinky

#### 4.1.1. Základní úvahy

a) Ce je le menais à faire ?

Na membranu plazmatu muri existoval prvý potenciál, ktorý udržíva v plazmatele polohyblivé malé časiky a dochádza k vymákaní toku  $\oplus$  a  $\ominus$  nálojí.  $\Rightarrow$  degenerácia

je dležitý případ elektropozitivního plasmau <math>\langle \text{+} \rangle\_{\text{iony}} \text{ } e^- \rangle\_{\text{nejméně pozitivně značenými kationy}}  
 $\Rightarrow$  plasma je náboje vlastně vlivem k. z. menšího značení.

b) Kahladniův uzel pro realizaci plasma:

Udržení plasma díky ohřevu  $e^-$  el. zdrojem  $\Rightarrow$  typ.  $T_e \sim eV$  )  $\Rightarrow$  udržovací  $e^-$   
 Jony jsou liměni v reenergetice s plynem  $\Rightarrow$  studené  $\left\{ \begin{array}{l} \text{plazma Boltem faktorem} \\ \text{menší energie, výšší} \\ \text{uzavřené proudy, } \\ \text{potenciály ve vrstvách} \end{array} \right.$

$$\text{viz. celkovou } \leftarrow \text{pro polyl. nelze dle } \cancel{\text{vlastnosti}} \text{ diff. rychlosi;}$$

$$y: e n_e E + \nabla p_e = 0$$

$$j \cdot e n_e E + \nabla p_e = 0$$

$\Rightarrow$  můžeme říct, že když  $\lambda_D = 0$ , pak je všechna  
odvodená rovnice nezávislá na matričních číslicích,  
není-li žádoucí řešit lineární rovnici (jako jsme to udělali  
při odvození  $\lambda_D$ ).

c) Zjelte a zpracovat jen do plátna všechny dvě elektrity a měříme původní potenciál, můžeme vidět, že elektrický odrážec moud, ačkoliv je dorazeno eliptickým kruhem nab. čářic (o půdorysu kruhu řeč o rovinném kruhu na jednu plochu, dlež se dále nazývat).

Nejjednodušší analýza je me elektrodu s rozdílným negat. potenciálem vzdálenem  $R$  plánu.

- nejednacírním příkladem je stén. vrha & lemeq. kunkovou ionku, tzn. matrix health - viz kap. 4.3

- me vyrobí napětí je pouze na elektrode větrníku jen prudkem iontu. Pak ovšem (pokud neexistují náby) mení urálená kúdrová iontu v self-identickém řetězci uniform, ale je již neprávna  $\text{ff}$  Child-Langmuir. zákonem

### Odechylky od idealizovaného případu:

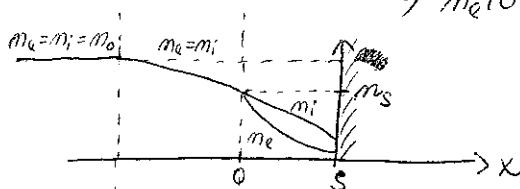
- d) Idealizované podmínky stál. iontu, ktere se uvažují v bodech  $b = c =$ , nejvýš výšky plněny a  $T_i$  nemůže být opačná. Tento zanedbání je významnou výhodou modelu, ale může vést k následujícím nedostatkům:
- případ nízké ionizace plazmaty. Příkladem je mít delší komplikovaný kinetický model.
  - 2. Také je možné, že EEDF není Maxwellovská, jak jsme původně dali, novým mechanismem ohňovou a může chybět energie (např.  $\delta p$  v rámci CCP).
  - 3. Další problém je elektronengat. plyn, kde je  $e^-$  reagující s ionty  $\Rightarrow \Theta$  málo vlivem  $e^-$  a  $\Theta$  iontu. Příklad je  $\Theta$  iontu dobrý, míválo by počitatelné přiblžení  $\Theta$  může vést k následujícímu zdroji.
  - e) Obráha můžeme tedy dat odkaz na idealizovaný případ:
- f) Tato kapitola popisuje stál. vlnky hom. v čase. Umožňuje další dva zajímavé případy:
- 1) stál. vlnky v osi. of. potenciálu (Lieberman cap. 11 - CCP of)
  - 2) vložené pohybem potenciálem (Lieberman cap. 16)
- V obou případech může být problém významnější pohyb je v důsledku čas. měření mezi  $e^-$  a ionty:
- $$f_{pe} \gg \frac{1}{\tau} \gg f_{pi} \Rightarrow e^-$$
- reaguje s ionty, ionty pomalu
- ↳ perioda změny pole
- plasm. fáze

### 4.1.2 Základní výrobce pro idealiz. případ bezráck. stál. vlnky

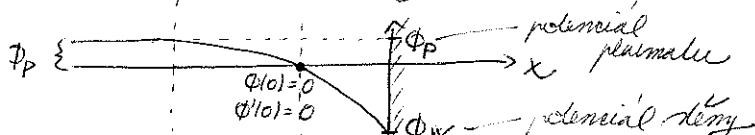
předp. a)  $e^-$  Maxwell.  $\Rightarrow T_e$

b) ionty stálé  $T_i = 0$

c)  $m_e \vec{v}_0 = m_i \vec{v}_0$  na hranici plasma-wall  $x=0$  (viz obr.)



Definujeme nulaž potenciál  $\Phi$  v  $x=0$  (-ii-).  
a uvažujeme, že ionty v  $x=0$  mají rychlosť  $v_s$ .



Z.2. E ionlu (základné rovnice):

$$\frac{1}{2} M u^2(x) = \frac{1}{2} M u_s^2 - e \phi(x) \Rightarrow u = \sqrt{u_s^2 - \frac{2e\phi}{M}}$$

~~$$\frac{1}{2} M u^2(x) = \frac{1}{2} M u_s^2 - e \phi(x)$$~~

Kontinuita toku ionlu (základná ionizace v deallee)

$$m_i(x)u(x) = m_{is}u_s$$

~~demografie ionlu na hranici den. vrstvy~~

$$\Rightarrow m_i = m_{is} \left(1 - \frac{2e\phi}{Mu_s^2}\right)^{-1/2}$$

Pro  $e^-$  platí Bohm. vrstva

$$m_e(x) = m_{es} \frac{e\phi}{kT_e}$$

Položíme  $m_{as} = m_{is} = m_s$  na hranici deallee (viz obr.) a dosadíme do Poiss. rovnice

$$\frac{d^2\phi}{dx^2} = \frac{e}{\epsilon_0} (m_e - m_i)$$

$$\Rightarrow \frac{d^2\phi}{dx^2} = \frac{e m_s}{\epsilon_0} \left[ e^{\frac{e\phi}{kT_e}} - \left(1 - \frac{\phi}{\epsilon_s}\right)^{-1/2} \right], \quad (1)$$

Ade  $e\epsilon_s = \frac{1}{2} Mu_s^2$  ... počáteční energie ionlu

Jako hranice je základní nelineární rovnice, která uvízne potenciál a  $m_e, m_i$  v deallee.  
Jak očekáváme v příslušné hypotéze městabilní rovnicí je pro dostatečně velké  $u_s$   
- tedy  $u_s$  vznikne v neutralním prostoru deallee

#### 4.2 Bohmovo kritérium den. vrstvy

(4.2.1 Bohm. rozloha)  
Provo integrál me (1) musíme doslat málobenom  $\frac{d\phi}{dx}$  a integraci přes  $x$ :

$$\int_0^x \frac{d\phi}{dx'} \frac{d}{dx'} \left( \frac{d\phi}{dx'} \right) dx' = \frac{e m_s}{\epsilon_0} \int_0^x \frac{d\phi}{dx'} \left[ e^{\frac{e\phi}{kT_e}} - \left(1 - \frac{\phi}{\epsilon_s}\right)^{-1/2} \right] dx'$$

při  $x=0$  je  $\phi=0$  i  $\phi'(0)=0$

$$\frac{1}{2} \left( \frac{d\phi}{dx} \right)^2 = \frac{e m_s}{\epsilon_0} \left[ \frac{kT_e}{e} e^{\frac{e\phi}{kT_e}} - \frac{kT_e}{e} + 2\epsilon_s \left(1 - \frac{\phi}{\epsilon_s}\right)^{1/2} - 2\epsilon_s \right]$$

$\uparrow$   
 $\phi=0$

$\uparrow$   
 $\phi=0$

Jako rovnice ji ne můžeme integrovat numericky, ale lze doslat  $\Phi(x)$ .

Je ale jasné, že PS musí být kladna. Fyzikálně to znamená, že  $m_e$  musí být  
počátkem menší než  $m_i$  v oblasti deallee ( $m_e < m_i$  pro  $x > 0$ ).

Předtěž předpokládáme, že je to problem pro místní  $\phi$ , expandujeme PS rce Taylor řádu do 2. řádu

$$\frac{RT_e}{e} \left( \lambda + \frac{e\phi}{RT_e} + \left( \frac{e}{RT_e} \right)^2 \frac{\phi^2}{2} - \lambda \right) + 2\varepsilon_s \underbrace{\left( \lambda + \frac{1}{2} \left( 1 - \frac{\varepsilon_s}{\lambda} \right)^{-\frac{1}{2}} \cdot \left( -\frac{1}{\varepsilon_s} \right) \phi \right)}_{\rightarrow} - \frac{1}{4} \left( 1 - \frac{1}{\varepsilon_s} \right)^{-\frac{3}{2}} \left( \frac{e}{RT_e} \right)^2 \phi^2 = 0$$

a tedy

$$\frac{e}{RT_e} - \frac{1}{2\varepsilon_s} \geq 0$$

$$\varepsilon_s \geq \frac{RT_e}{2e}$$

$$\frac{1}{2} \frac{Mu_s^2}{e} \geq \frac{RT_e}{2e}$$

$$u_s \geq u_B = \sqrt{\frac{RT_e}{M}}$$

Robin's health criterion

aby ionky vnikaly do záblotu, musí existovat el. pole v plazmatu ... pro health (záblot máloho E ale tyčky mohou mít i vysoké E).

#### 4.2.2 Vlastnosti pro pro health

z pro health platí  $m_i = m_e$

$$\text{družec logaritmu } \frac{1}{m_i} \frac{dm_i}{dx} = \frac{1}{m_e} \frac{dm_e}{dx}$$

$$\text{dodáme } m_i = \frac{j_i}{e u_i} \Rightarrow LS \quad \frac{e u_i}{j_i} \frac{d}{dx} \left( \frac{j_i}{e u_i} \right) = \frac{j_i}{j_i} \left( \frac{j_i' u_i - u_i \cdot j_i'}{u_i^2} \right) = \frac{1}{j_i} \frac{d j_i}{dx} - \frac{1}{u_i} \frac{d u_i}{dx}$$

$$\text{a } m_e = m_e e^{\frac{e\phi}{RT_e}} \Rightarrow PS \quad \frac{1}{m_e} \cdot m_e \cdot \frac{e}{RT_e} \cdot \frac{d\phi}{dx}$$

$$\Rightarrow \text{celkovice } \frac{1}{u_i} \frac{d u_i}{dx} + \frac{e}{RT_e} \frac{d\phi}{dx} = \frac{1}{j_i} \frac{d j_i}{dx}$$

$$\text{předp. } u_i < u_B \Rightarrow \frac{1}{u_B} \frac{d u_i}{dx} + \frac{e}{RT_e} \frac{d\phi}{dx} < \frac{1}{u_i} \frac{d u_i}{dx} + \frac{e}{RT_e} \frac{d\phi}{dx} = \frac{1}{j_i} \frac{d j_i}{dx}$$

$$\text{tedy } \frac{1}{u_B} \frac{d u_i}{dx} + \frac{e}{RT_e} \frac{d\phi}{dx} < \frac{1}{j_i} \frac{d j_i}{dx}$$

což je splněno buď pro

$$\text{a) } \frac{1}{u_B} \frac{d u_i}{dx} + \frac{e}{RT_e} \frac{d\phi}{dx} < 0 \quad , \quad \frac{1}{j_i} \frac{d j_i}{dx} = 0$$

$$\text{nebo pro} \quad \text{b) } \frac{1}{u_B} \frac{d u_i}{dx} + \frac{e}{RT_e} \frac{d\phi}{dx} > 0 \quad , \quad \frac{1}{j_i} \frac{d j_i}{dx} > \frac{1}{u_B} \frac{d u_i}{dx} + \frac{e}{RT_e} \frac{d\phi}{dx}$$

Předtěž ze Z.2.E iontu plyne  $\frac{1}{u_B} \frac{d u_i}{dx} + \frac{e}{RT_e} \frac{d\phi}{dx} > 0$  plati' případ a) jin když

dohráti ke měláním v pro health (ion friction)

$$\text{a rovněž } j_i = \text{konst. } \left( \frac{1}{j_i} \frac{d j_i}{dx} = 0 \right)$$

Případ b) indikuje ionizaci nebo geometrické omezení plazmatu.

$$\begin{aligned} \text{Z.2.E } \frac{1}{2} M u^2 &= \frac{1}{2} M u_s^2 - e\phi \\ Mu \frac{du}{dx} &= -e \frac{d\phi}{dx} \quad | : Mu \\ \frac{1}{u_B} \frac{du}{dx} + \frac{e}{RT_e} \frac{d\phi}{dx} &= \frac{1}{u_B} \left( -\frac{e}{Mu} \frac{d\phi}{dx} \right) + \\ + \frac{e}{RT_e} \frac{d\phi}{dx} &> \frac{d\phi}{dx} \left( -\frac{e}{Mu_B^2} + \frac{e}{RT_e} \right) = \\ &= 0 \quad (\text{protože } u_B^2 = \frac{RT_e}{M}) \end{aligned}$$

Když uvažíme specifické jiné dráhy než nás. konkrétně střední volné dráhy mezi různými hybridními (částečně ionizované) i ionizací nebo geometrickou emisí, mohou být pro presheath využity analyticky.

Některá řešení viz Riemann, J. Phys. D 24 (1991) 493 pro

- geometrickou konstrukci modelu na způsobu ronění
- planární kolínskou presheath
- ionizující presheath s ionizací úměrnou  $m_e$

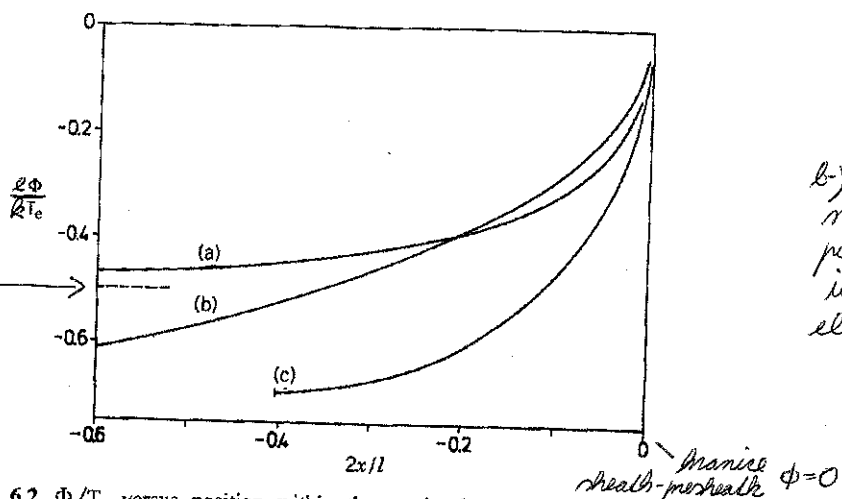


FIGURE 6.2.  $\Phi/T_e$  versus position within the presheath, showing (a) the geometric presheath, (b) a planar collisional presheath, and (c) a planar ionization presheath. The sheath-presheath edge is at the right (after Riemann, 1991).

a) geometrická presheath, vztahuje se k neionizovanému plasmatu (tedy je el. pole  $E = grad\phi$ )

b) kolínská presheath vede na logaritm. závislosti  $\phi \rightarrow \text{transport}$  ionů významuje zároveň el. pole v plasmatu

c) ionizující presheath kde je mítel. el. polem ve středu symetrického plasmatu

- Použitka presheathu pro b) ~ řádově střední volné dráha pro nášky i ion - neutral
- pro c) ~ řádově střední volné dráha pro e- neutral, ionit. nášky

Achelio-řešení pro potenciál využívají rozdílné, většinou dívají  $u_i = u_B$  na manici presheathu. Rovn. nemoc. pole v kontextu může indikovat různé prototypy náloží (tedy  $m_e \neq m_i$ ).

Spad potenciálu v oblasti presheathu, když uvažujeme iony na  $u_B$ , je tedy

$$\frac{1}{2} M u_B^2 = e \phi_p$$

$$u_B^2 = \sqrt{\frac{kT_e}{M}}$$

potenciál plasmatu vzhledem k manici presheath - health

$$\frac{1}{2} M \frac{kT_e}{M} = e \phi_p$$

$$|\phi_p| = \frac{kT_e}{2e}$$

bulky

Poměr pravděl. náloží na manici presheath - health (očn.  $m_s$ ) k náloži v plasmatu ( $m_b$ ) je z Bolzmann. vztah

$$m_s = m_b e^{\frac{-e\phi}{kT_e}} = m_b e^{-\frac{1}{2}} \approx 0.61 \cdot m_b$$

zde by pro e- mítel.  $\phi < 0$  ale nás definiuje  $\phi(0)=0$  a  $\phi < 0$  v presheathu zde významuje  $\phi$  znamená?

## 4.2.1 Potenciál stěny pro plovoucí stěny

(4-6)

$$\text{Jekk ienli}^{\circ} \text{ (koml. stice health)} = 10k e^{-}$$

potenciál stěny vzhledem k mání  
pro health - health

$$n_s u_B = \frac{1}{4} n_s \bar{N}_e e^{\frac{-e\phi_w}{kT_e}}, \text{ kde } \bar{N}_e = \sqrt{\frac{8kT_e}{\pi m}} \text{ střední}$$

$$u_B = \sqrt{\frac{kT_e}{M}}$$

$$\Rightarrow n_s \sqrt{\frac{kT_e}{M}} = \frac{1}{4} n_s \sqrt{\frac{8kT_e}{2\pi m}} e^{\frac{-e\phi_w}{kT_e}}$$

$$e^{\frac{-e\phi_w}{kT_e}} = \left( \frac{2\pi m}{M} \right)^{1/2}$$

$$\phi_w = \frac{kT_e}{e} \ln \left( \frac{2\pi m}{M} \right)^{1/2} = - \underbrace{\frac{kT_e}{e} \ln \left( \frac{M}{2\pi m} \right)^{1/2}}_{\text{ted je to bladné}\atop \text{číslo } M > 2\pi m}$$

$\Rightarrow \phi_w$  je záporné a úmerné  $T_e$  s faktorem

$$\text{např. pro roditel} \left( \frac{M}{2\pi m} \right)^{1/2} = 2,8$$

$$\text{argon } -11 = 4,7 \quad (m_{Ar} = 40 \text{ u})$$

Na hranici pro health - health mají iony průměrné energie  $E_s = \frac{kT_e}{2e}$  neboli  $\frac{T_e}{2}$  eV

a stice health (dc, běrová) křížají matic

$$Ar^+ \text{ energie } 4,7 T_e \Rightarrow \text{celkem } (4,7 + 0,5) T_e = 5,2 T_e$$

$$T_e = \frac{kT_e}{e} \quad (1 \text{ eV} \hat{=} \frac{e}{k} \text{ K})$$

$$T_e = \frac{e}{k} T_e \quad 1 \text{ eV} \hat{=} 11600 \text{ K}$$

(pozn.) Případ je na stěně nějaký potenciál, křížají naměřené mnohem výšší energie, ale pak stěna cítíší značný proud s větší odstupem 4.3).

(pozn.) Slouží k health - health zjistit integracím dif. me pro  $\phi(x)$  ... jen numericky

$$\text{a pak počtem } \phi(s) = \phi_w$$

$$\text{Typické } \Delta s \approx n \text{ několik } \lambda_D$$

## 4.3 Vlnová vlna $\hat{v}$ vzhledem po napětí

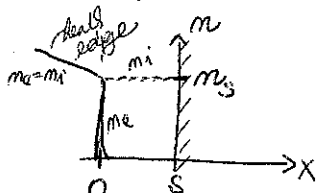
$$\frac{kT_e}{e} \dots \text{lydela v eV}$$

### 4.3.1 Matrix health

Potenciál ve vln. vlně je často mnohem větší než zádrobení (viz  $\phi_w$  pro plovoucí stěnu)  $\Rightarrow n_s \sim n_s e^{\frac{-e\phi_w}{kT_e}} \rightarrow 0 \Rightarrow$  ve vlně jde pouze iony

Nejednorodný vzhled vlnové vlny pro předp. kompl. hodnoty ionu = matrix health

$$m_i = m_s = \text{konst}$$



$$\text{MR} \quad \frac{dE}{dx} = \frac{e n_s}{\epsilon_0}$$

$$E = \frac{e n_s}{\epsilon_0} x \quad \text{... lineární el. pole}$$

$$E = - \frac{d\phi}{dx}$$

$$-\int E dx = \phi$$

$$\phi = - \frac{e n_s}{\epsilon_0} \frac{x^2}{2} \quad \text{... parabol. potenciál}$$

Pro  $\Phi(r) = -V_0$  ... na dálku  
máme vztah pro tloušťku healthy  
k zjednodušení healthy relacií k  $\lambda_D = \sqrt{\frac{e\epsilon_0 k T_e}{e^2 m_s}}$  na dálku healthy

$$r = \lambda_D \sqrt{\frac{2V_0 e}{k T_e}} \text{ vytola v eV}$$

$\Rightarrow$  tloušťka je doslova  $\lambda_D$

#### 4.3.2 Child Law Healthy

V určitěm dálce můžeme matrix healthy self-consistent, protože neuvádíme  
potles tloušťky iontu jak iony vytvářejí ve vzd. vliv.

V limitu, že počáteční energie iontu  $eE_S$  je malá

$$\text{je t.z. E} \quad \frac{1}{2} M u^2(x) = -e\phi(x)$$

$$\text{a} \quad J_0 = e n(x) u(x) \text{ konst. tok iontu}$$

$$\Rightarrow n(x) = \frac{J_0}{e} \left( -\frac{2e\phi}{M} \right)^{-1/2}$$

$$\text{Použijeme Poiss. rovnici } (m_e = 0) \quad \frac{d^2\phi}{dx^2} = -\frac{J_0}{\epsilon_0} \left( -\frac{2e\phi}{M} \right)^{-1/2}$$

Synárobíme  $\frac{d\phi}{dx}$  a integrujeme od 0 do x

$$\frac{1}{2} \left( \frac{d\phi}{dx} \right)^2 = 2 \frac{J_0}{\epsilon_0} \left( \frac{2e}{M} \right)^{1/2} (1-\phi)^{1/2}$$

$$\int_x^x \frac{1}{2} \frac{d}{dx} \left( \frac{d\phi}{dx} \right)^2 dx = \dots \int_0^{-1/2} \phi^{-1/2} d\phi$$

$$\text{Ade druhé podmínky } \frac{d\phi}{dx} = -E = 0 \text{ pro } x=0$$

vermeme odmočeninu a integrujeme

$$-\phi^{3/4} = \frac{3}{2} \left( \frac{J_0}{\epsilon_0} \right)^{1/2} \left( \frac{2e}{M} \right)^{-1/4} x$$

$$\text{Pro } \phi(r) = -V_0 \text{ vytáhne vztah pro } J_0 \quad \Rightarrow \boxed{J_0 = \frac{4}{9} \epsilon_0 \left( \frac{2e}{M} \right)^{1/2} \frac{V_0}{r^{3/2}}}$$

Jako je známý Child-Langmuir zákon pro space-charge-limited current  
= proud limitovaný prostorovým nábojem v planární diodě - dvě elektrody  
s fiksí vzdáleností, jehož je ~~zadání~~ diodě.

$$\text{Pro nás platí} \quad J_0 = e n_s u_B \quad \text{, kde } u_B = \sqrt{\frac{k T_e}{M}}$$

Takže můžeme srovnat vztah pro tloušťku vzd. vlivy

$$e n_s \sqrt{\frac{k T_e}{M}} = \frac{4}{9} \epsilon_0 \left( \frac{2e}{M} \right)^{1/2} \frac{V_0}{r^{3/2}}$$

$$r = \frac{2}{3} \left( \frac{\epsilon_0}{e n_s} \right)^{1/2} \left( \frac{2e}{k T_e} \right)^{1/4} V_0^{3/4} = \frac{\sqrt{2}}{3} \lambda_D \left( \frac{2V_0 e}{k T_e} \right)^{3/4}$$

Když to porovnáme s tloušťkou matrix healthy, vidíme, že

Child law healthy je netu s faktorem  $(V_0 \frac{e}{k T_e})^{1/4}$   $\Rightarrow$  rádově  $100 \times \lambda_D \sim 1 \text{ cm}$  v typ. výboji

vytola v eV